

Fig. 1A

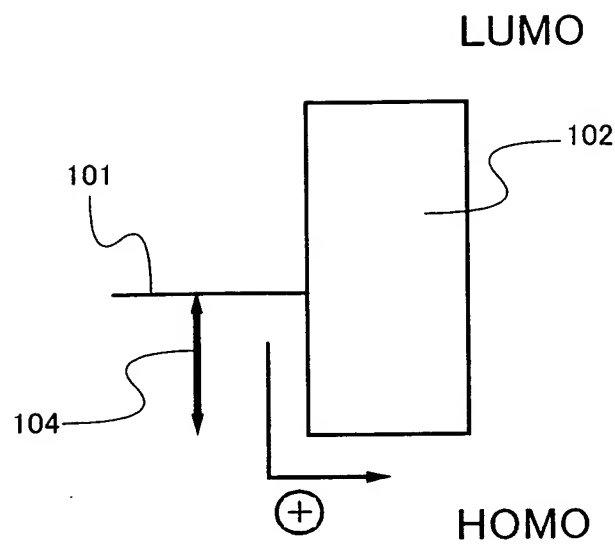


Fig. 1B

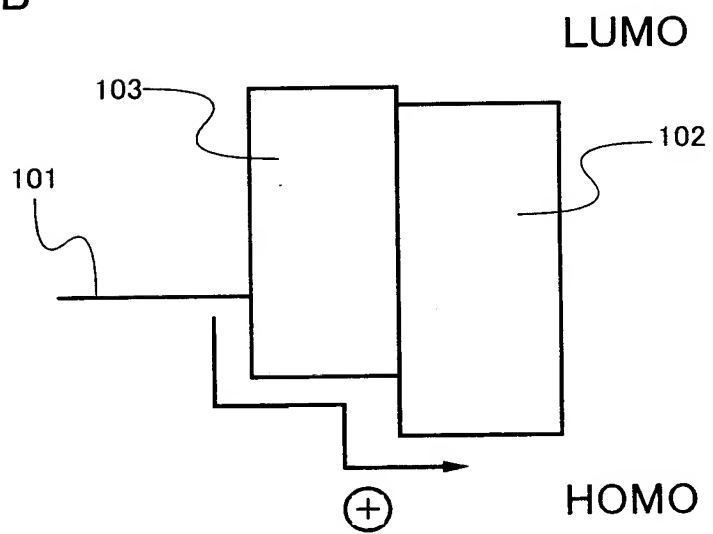


Fig. 2A prior

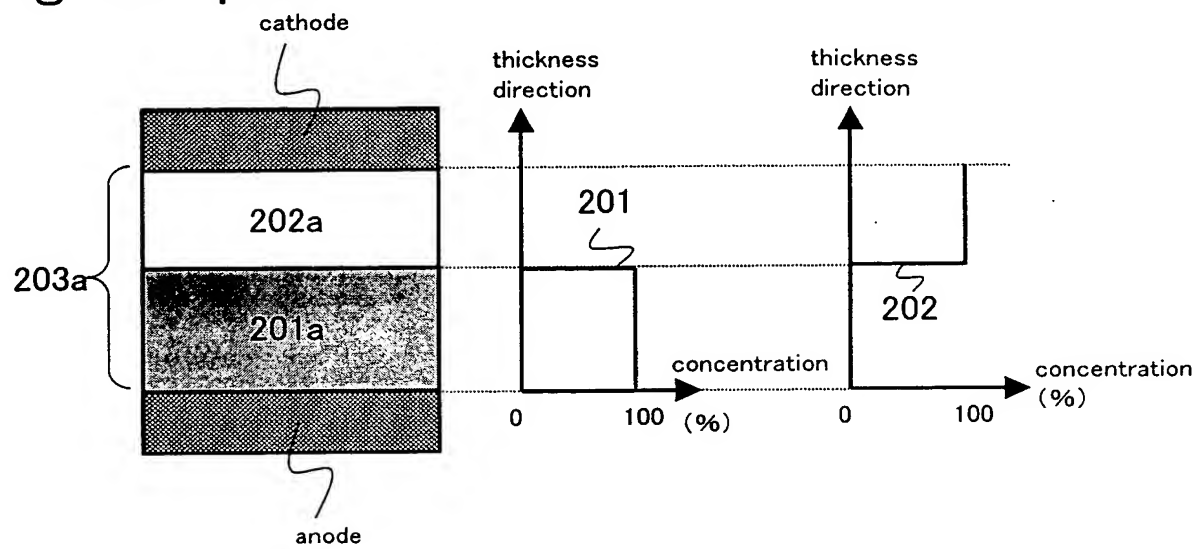
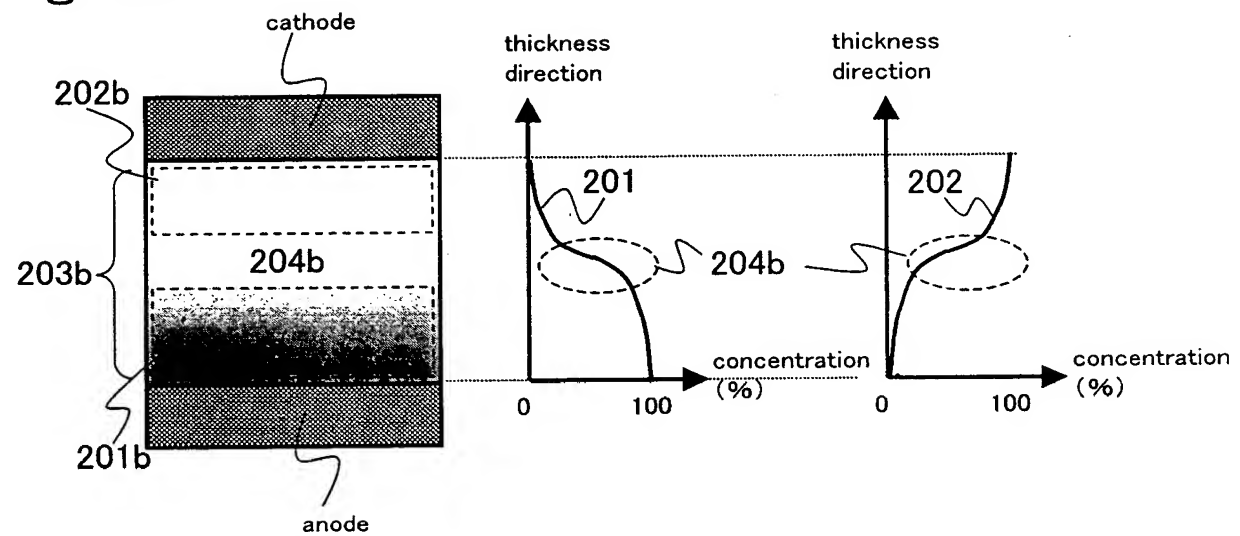


Fig. 2B



10043786, Oct 2002

Fig. 3A

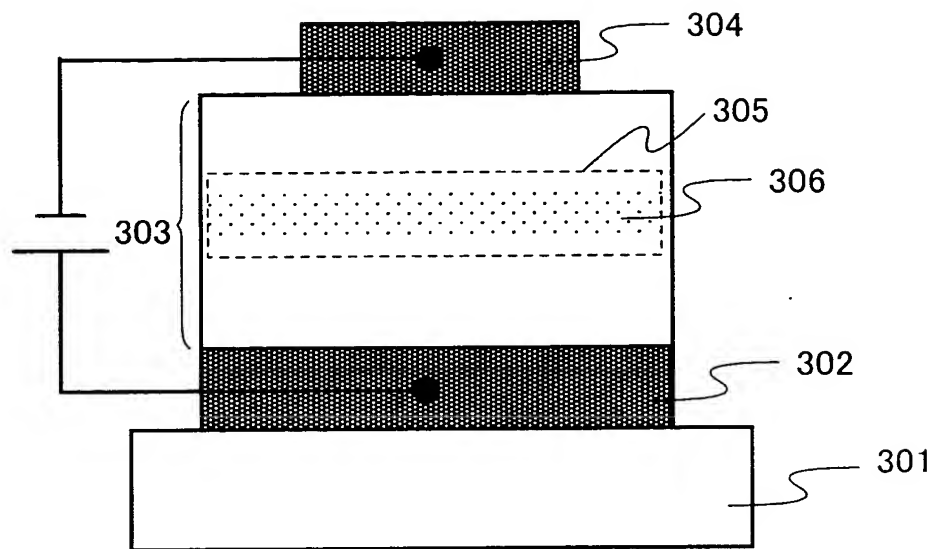
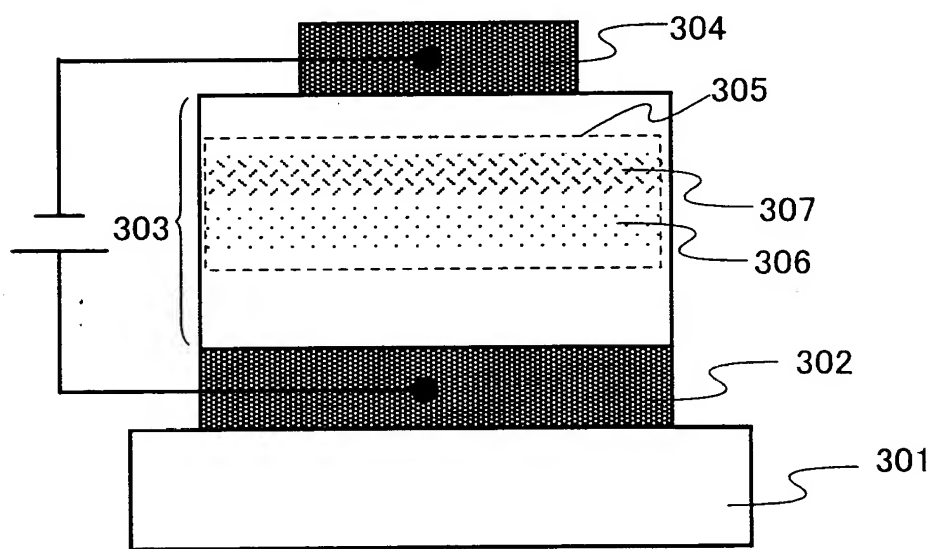


Fig. 3B



10043786.01 1002

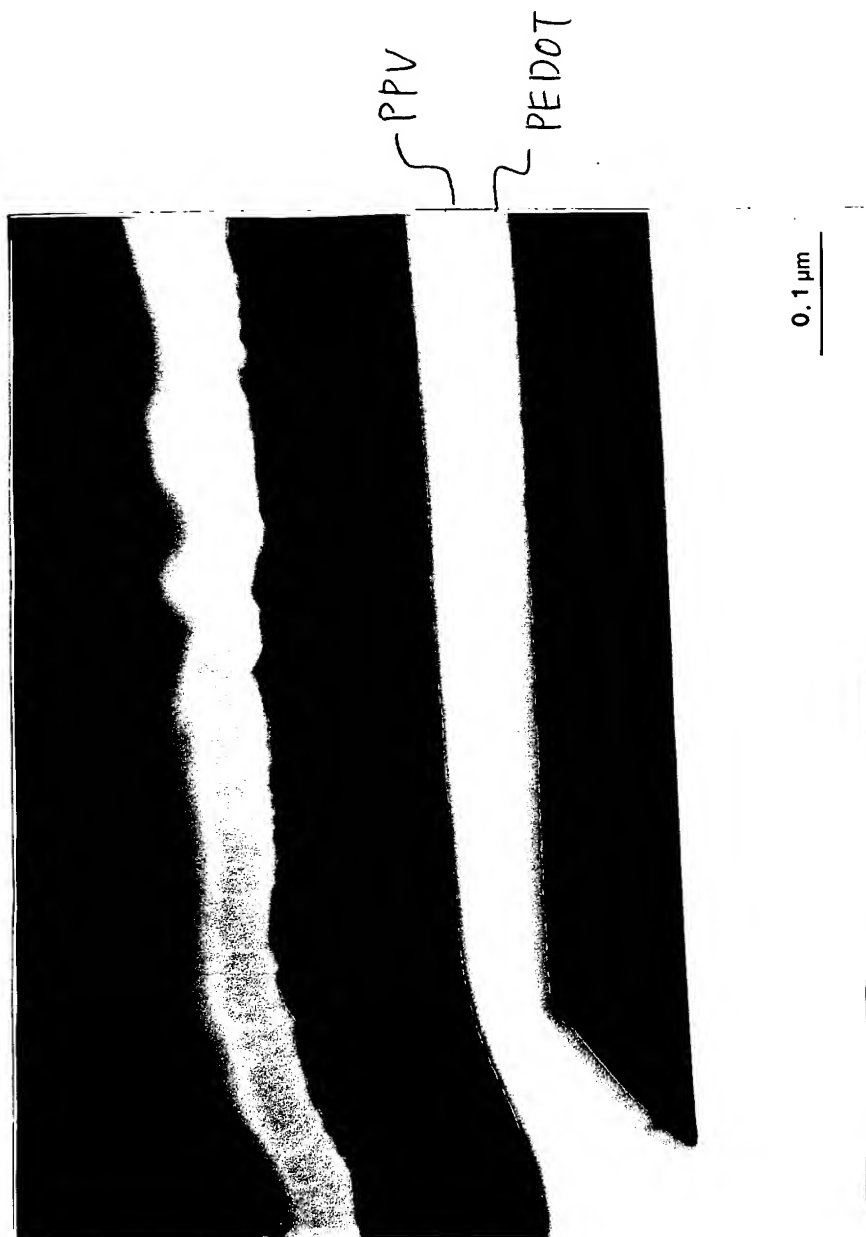


Fig. 4

20040107-38734001

Fig. 5A

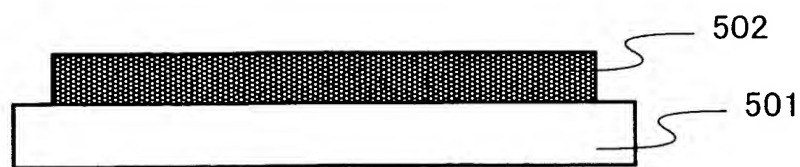


Fig. 5B

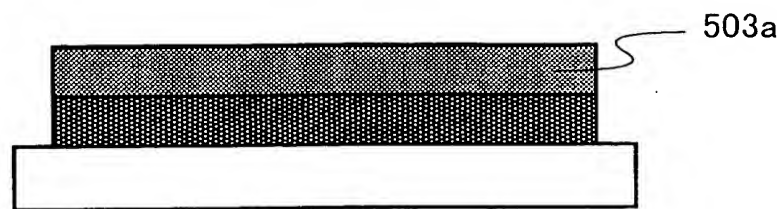


Fig. 5C

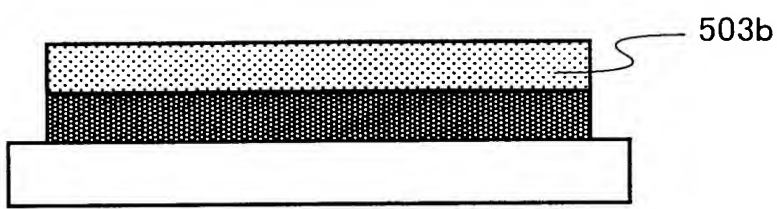


Fig. 5D

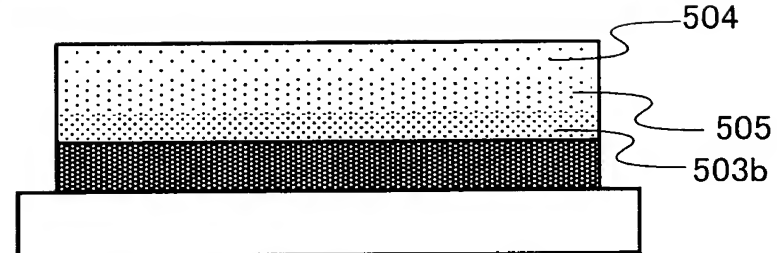


Fig. 5E

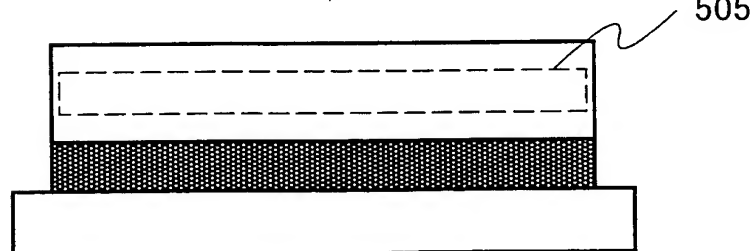
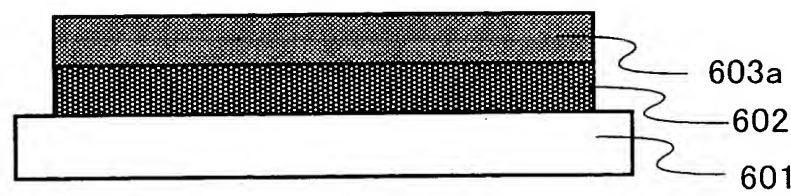
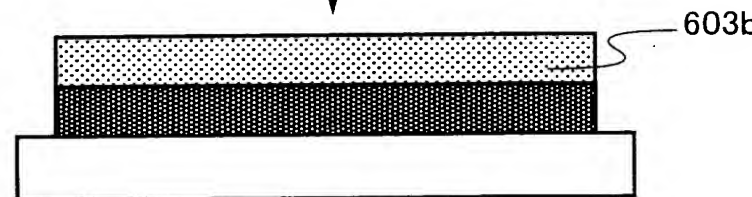


Fig. 6A



611

Fig. 6B



612

Fig. 6C

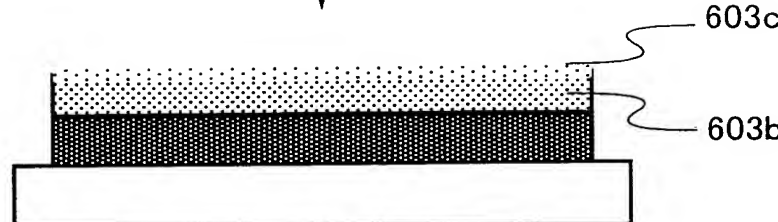
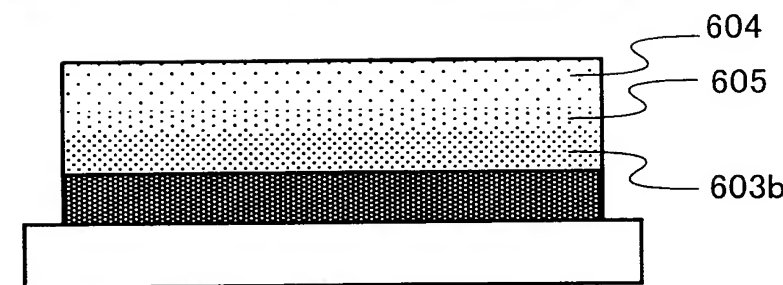
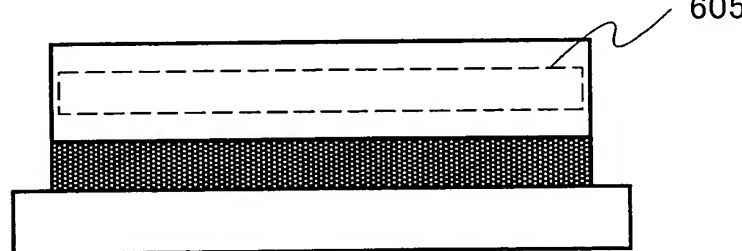


Fig. 6D



613

Fig. 6E



10013286.011002

Fig. 7A

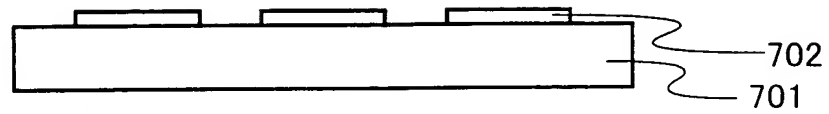


Fig. 7B

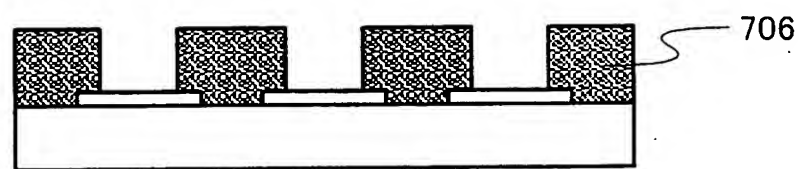


Fig. 7C

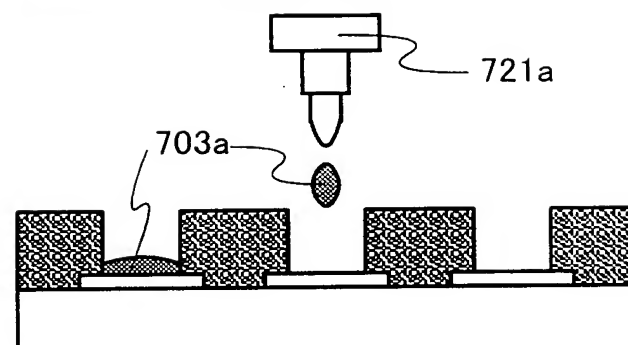


Fig. 7D

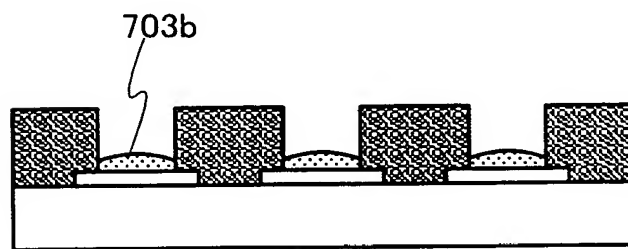


Fig. 7E

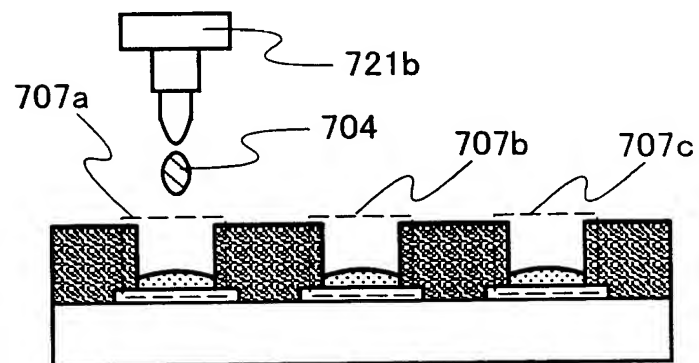


Fig. 8

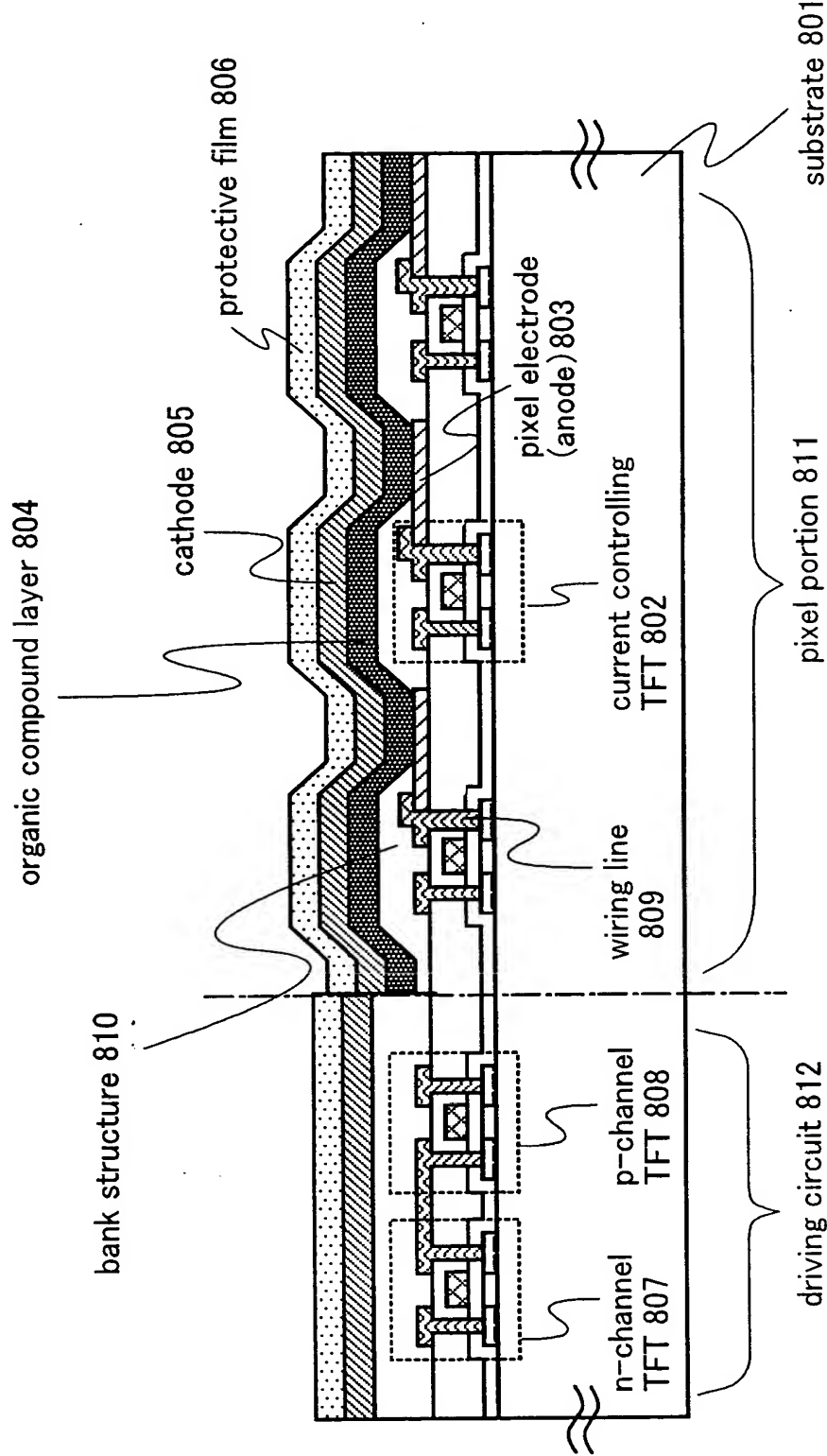


Fig. 9

organic compound layer 904

bank structure 910

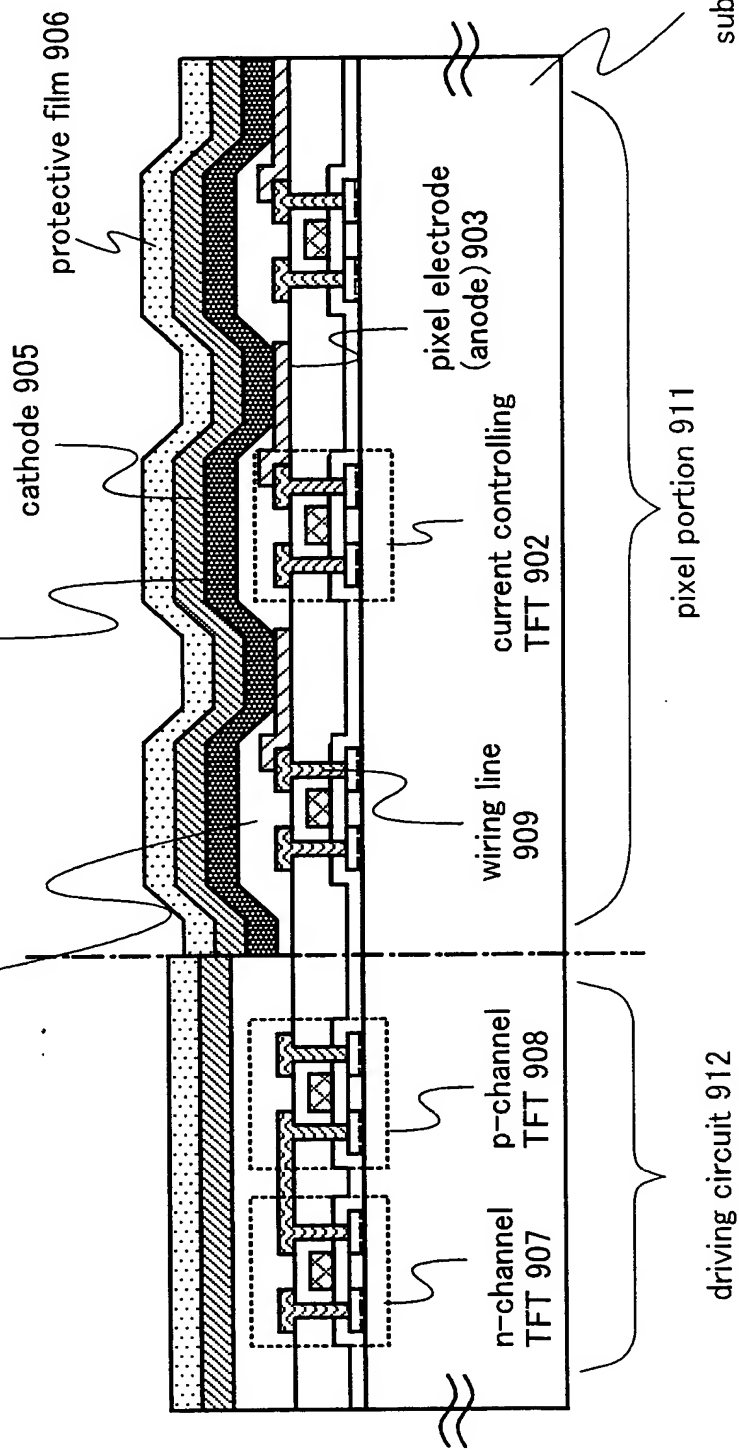


Fig. 10

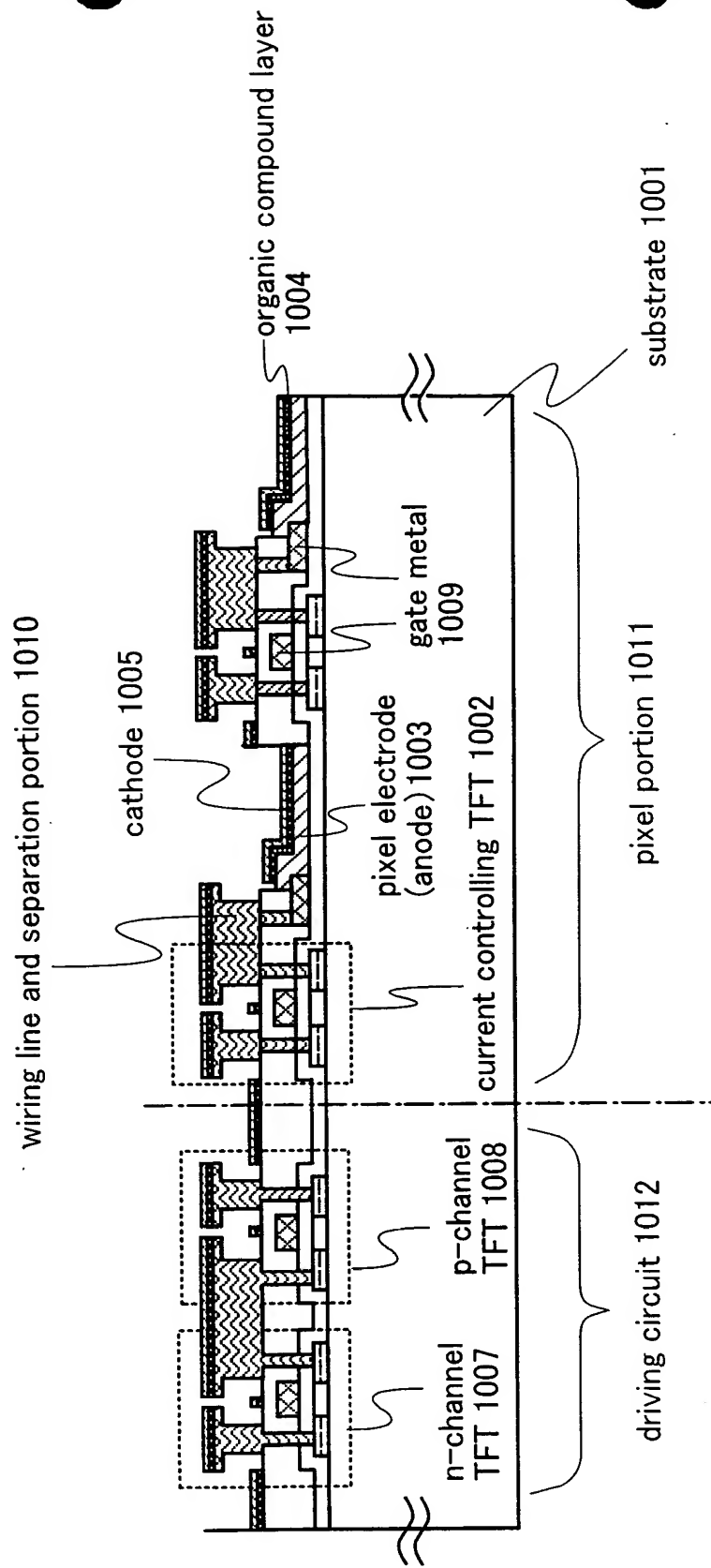
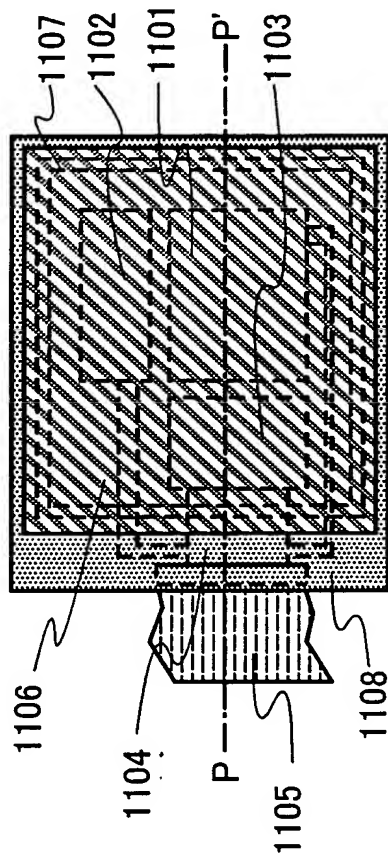


Fig. 11A



118

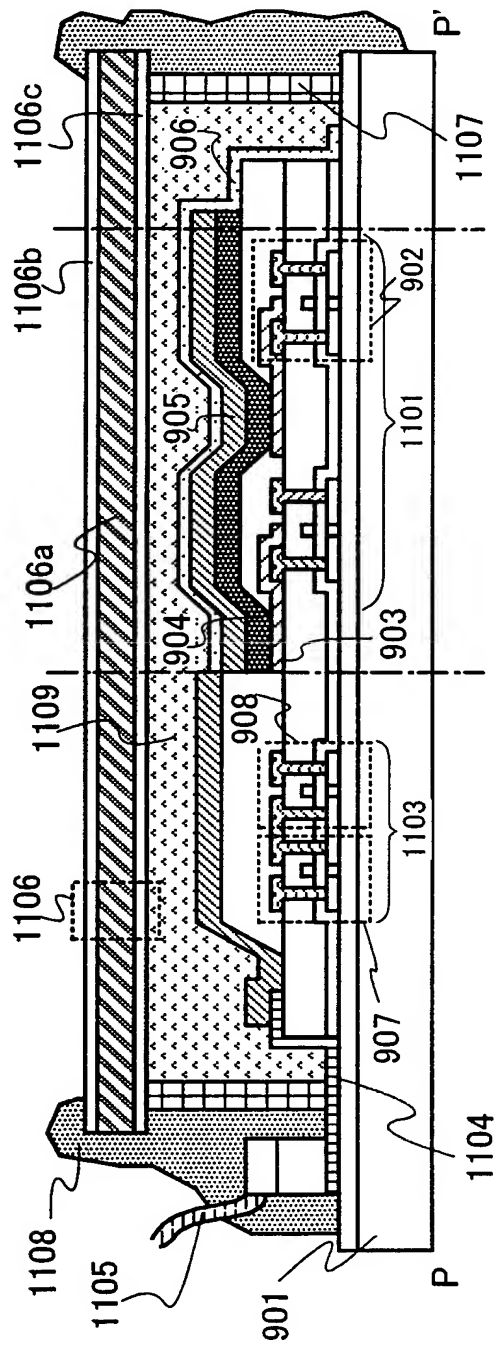


Fig. 12A

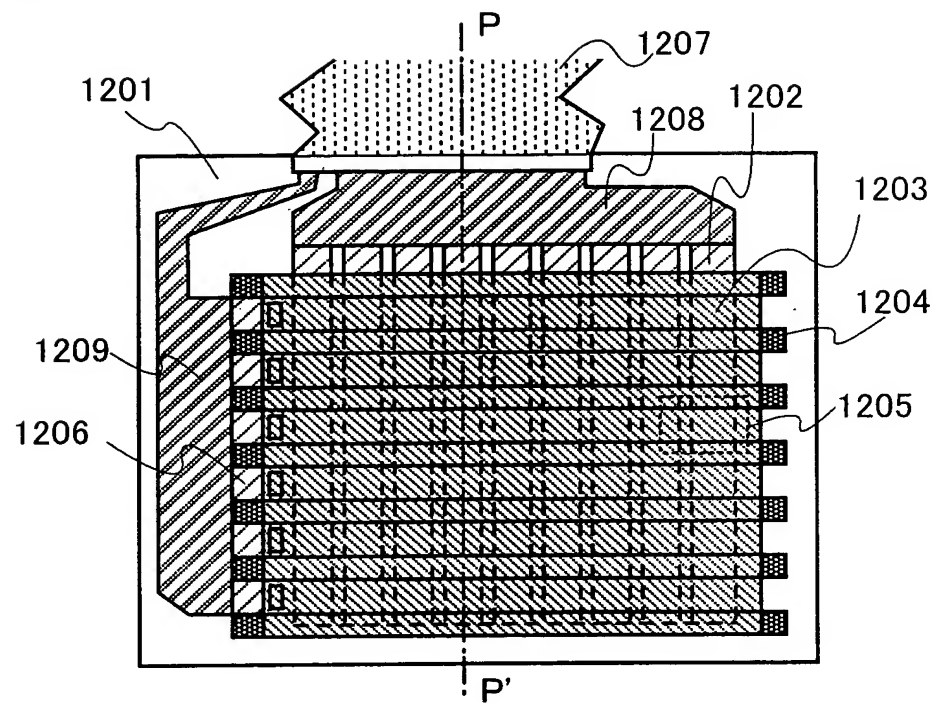


Fig. 12B

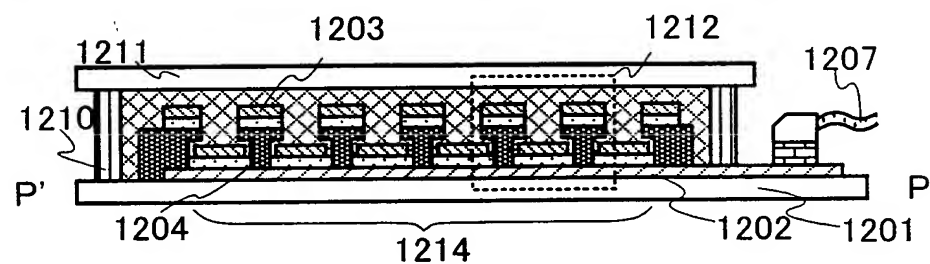


Fig. 12C

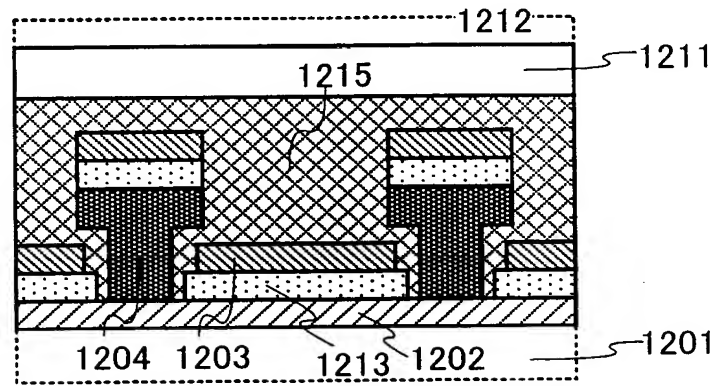


Fig. 13A

2003-07-30 000001

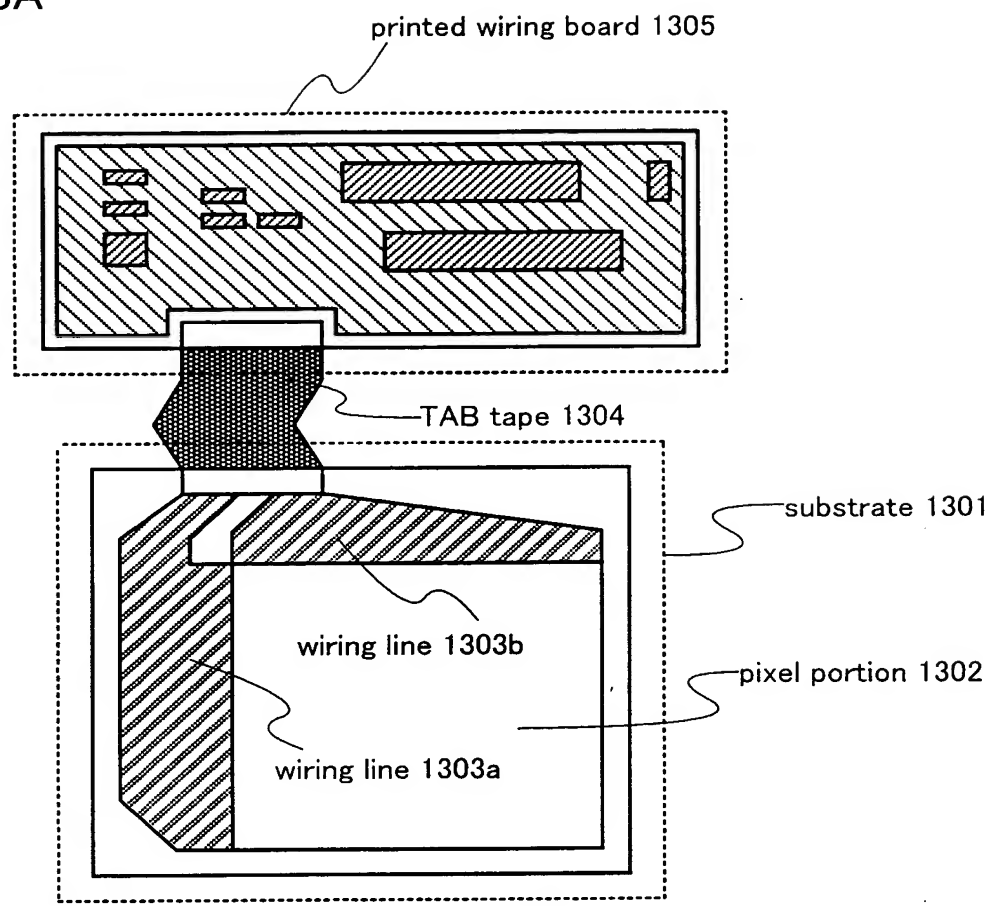


Fig. 13B

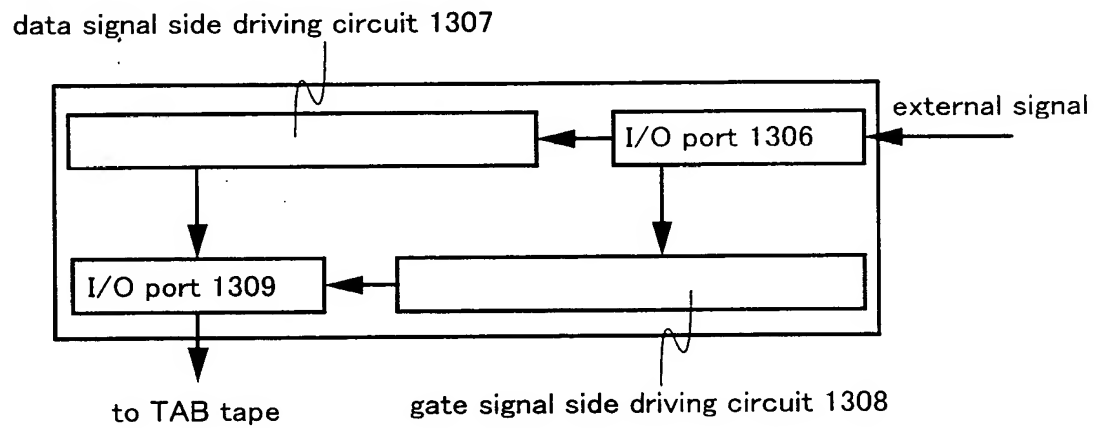


Fig. 14A

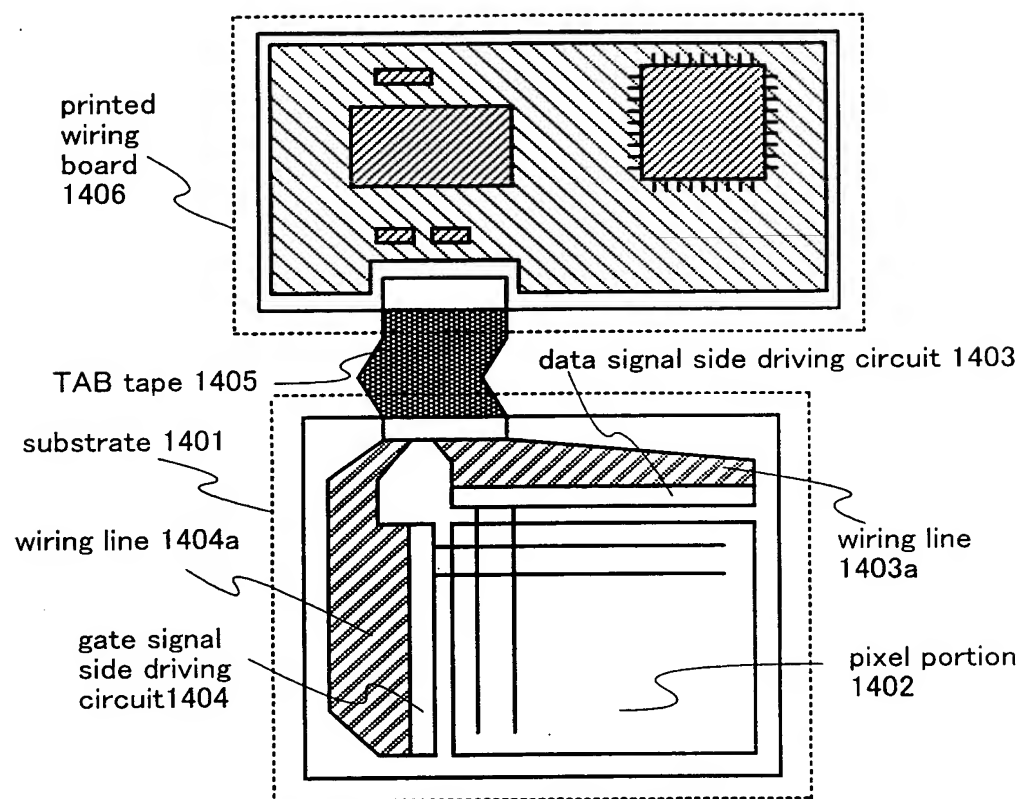


Fig. 14B

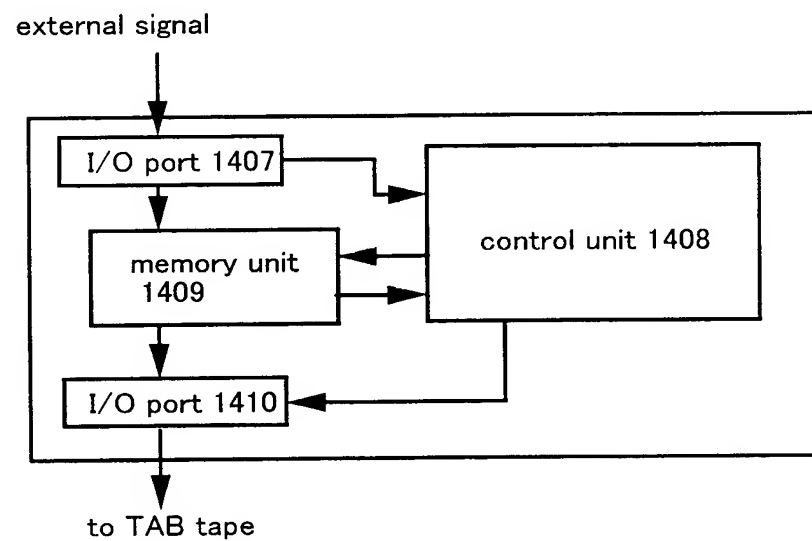


Fig. 15A

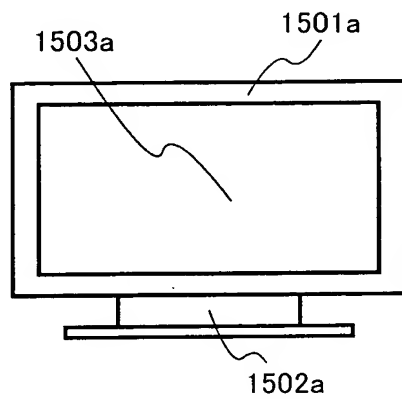


Fig. 15B

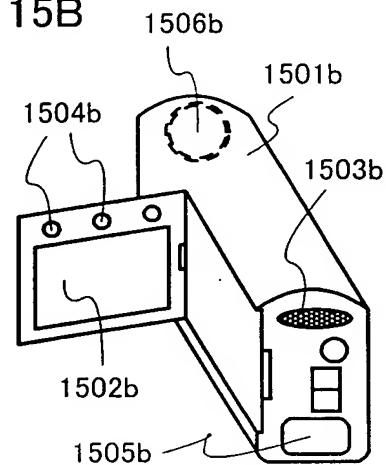


Fig. 15C

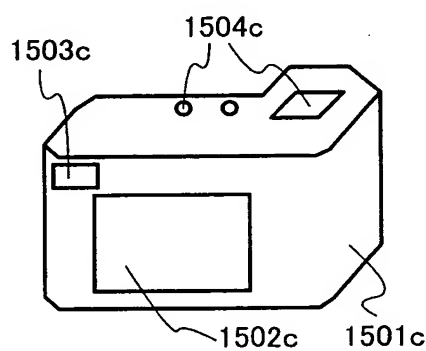


Fig. 15D

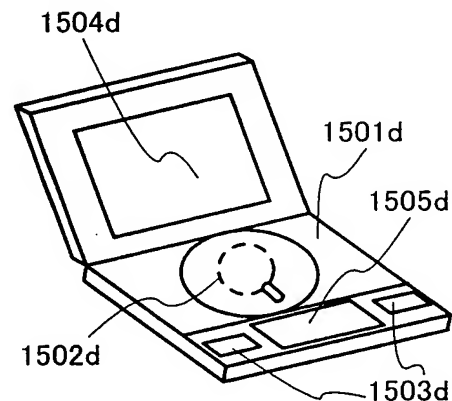


Fig. 15E

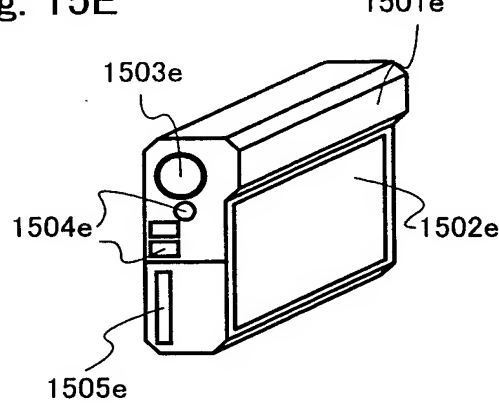


Fig. 15F

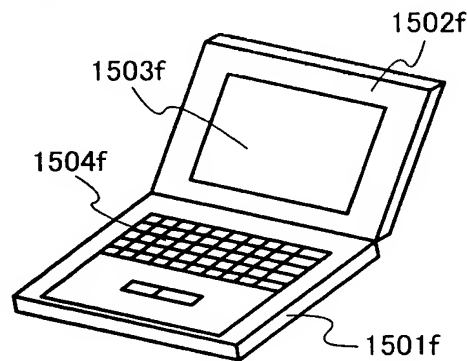


Fig. 16A

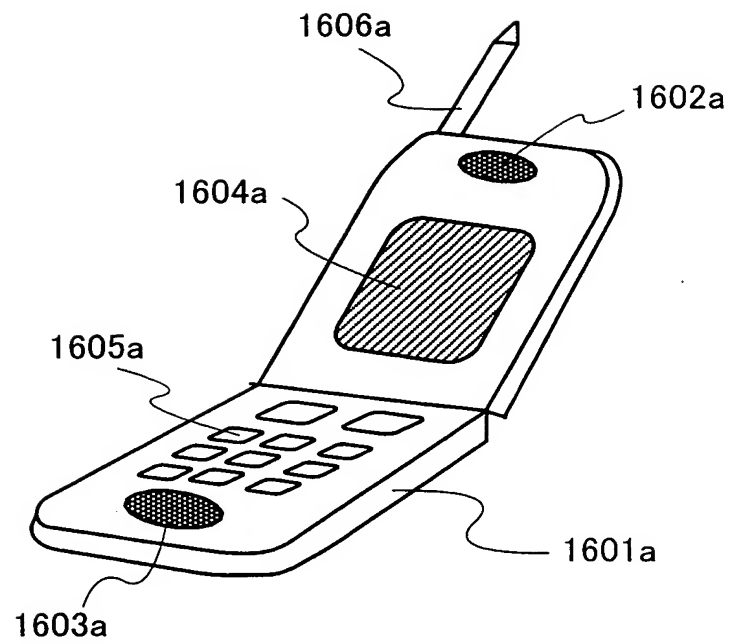
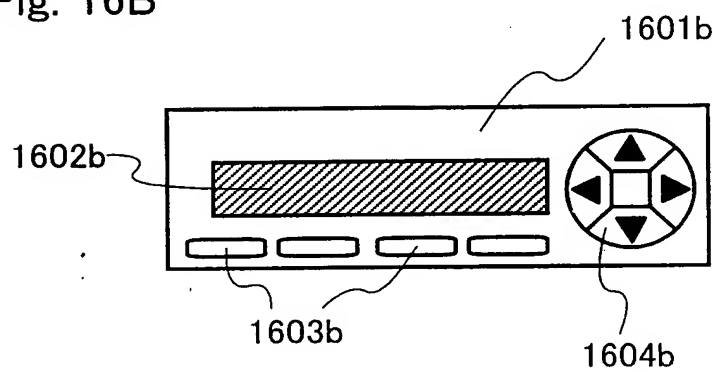


Fig. 16B



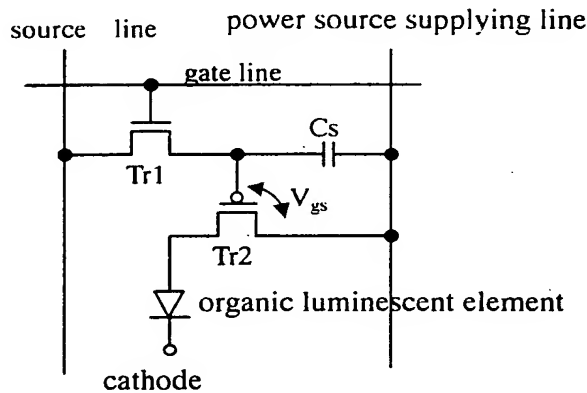


Fig. 17A

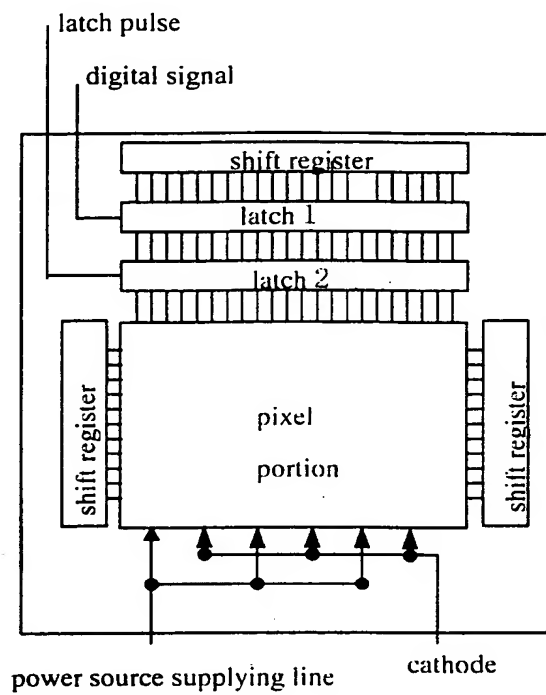
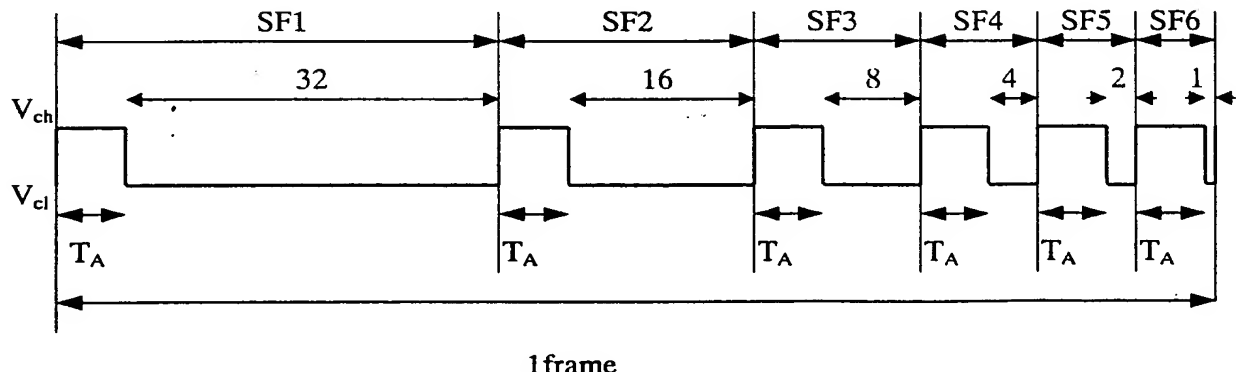


Fig. 17C



SF1-SF6:subframe,  $T_A$ : write in time

Fig. 17B

Fig. 18

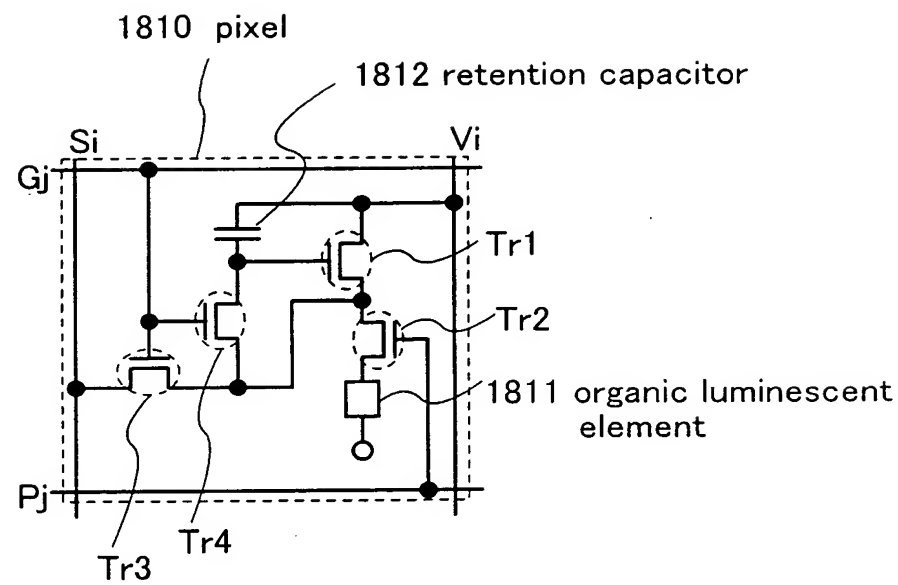


Fig. 19

